

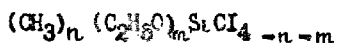
Х24

МИНИСТЕРСТВО НАУКИ, ВЫШЕЙ ШКОЛЫ И ТЕХНИЧЕСКОЙ ПОЛИТИКИ
РОССИЙСКОЙ ФЕДЕРАЦИИ
ЧЕЛЯБИНСКИЙ ГОСУДАРСТВЕННЫЙ ТЕХНИЧЕСКИЙ УНИВЕРСИТЕТ

«На правах рукописи»

Усманов Игорь Мареэльевич

СОЗДАНИЕ МЕТОДИКИ, АППАРАТУРЫ ПЛАМЕННОЙ КАЛОРИМЕТРИИ
И ТЕРМОХИМИЧЕСКОЕ ИССЛЕДОВАНИЕ СОЕДИНЕНИЙ РЯДА

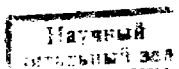


Специальность 02.00.04 – "Физическая химия"

А В Т О Р Е Ф Е Р А Т

диссертации на соискание учёной степени
кандидата химических наук

Челябинск – 1994



Работа выполнена на кафедре неорганической химии
Тюменского государственного университета

Научный руководитель: доктор химических наук,
профессор С.Н.Гаджиев

Официальные оппоненты: доктор химических наук,
профессор Е.И.Сухарев;
кандидат химических наук,
старший научный сотрудник
С.А.Арутюнов

Ведущая организация: Воронежский технологический институт

Защита диссертации состоится "15"....1994г.
в ~~14~~ часов на заседании специализированного совета
Д 063.13.03 в Челябинском государственном техническом
университете

Адрес университета: 454080, г.Челябинск, пр.им.В.И.Ленина,
76.

С диссертацией можно ознакомиться в библиотеке университета

Автореферат разослан "....." 1994г.

Учёный секретарь специализированного совета кандидат
физико-математических наук В.И.Бескакко

ОБЩАЯ ХАРАКТЕРИСТИКА РАБОТЫ

Актуальность работы. Кремнийорганические и кремнийхлорорганические соединения (КОС и КХОС) являются исходными веществами для промышленного получения полимеров. Благодаря уникальным свойствам — высокой термостойкости, влагостойкости, химической инертности, гидрофобности и долговечности кремнийорганические полимеры являются важнейшими материалами для новой техники, энергетики, строительства, текстильной промышленности, медицины.

Полимеры из КОС и КХОС получают в две стадии: 1) синтез мономеров; 2) полимеризация мономеров. Вторая стадия проходит легко и с хорошим выходом конечных продуктов. Первая же стадия, определяющая эффективность всего процесса, не всегда даёт максимальный выход продуктов. Поэтому необходим подбор оптимальных условий синтеза, который можно осуществить лишь на научной основе, путём термодинамических расчётов, исходя из термохимических исследований КОС и КХОС.

В связи со сложностью термохимического исследования КОС и КХОС надёжных данных по их энталпиям сгорания ($\Delta_f H_m^0$) и образования ($\Delta_f h_m^0$) крайне недостаточно. Основным методом термохимического исследования данных соединений является метод кислородной бомбовой калориметрии. Однако здесь используются сложные аппаратура, методика и не всегда достигается полнота сгорания КОС и КХОС. Другим, более простым, доступным и неизученным до настоящей работы методом видится метод кислородной пламенной калориметрии.

Целью настоящей работы явились создание новой, сравнительно простой и в то же время достаточно эффективной аппаратуры, методики пламенной калориметрии и термохимическое исследование соединений ряда $(CH_3)_n(C_2H_5O)_mSiCl_4$.

Объекты исследования: $(C_2H_5O)_4Si(x.)$, $(C_2H_5O)_3SiCl(x.)$, $(C_2H_5O)_2SiCl_2(x.)$, $CH_3(C_2H_5O)_2SiCl(x.)$, $CH_3(C_2H_5O)SiCl_2(x.)$ и $(CH_3)_3SiCl(x.)$.

Научная новизна. Созданы специальная реакционная камера для калориметрического сжигания соединений ряда $(CH_3)_n(C_2H_5O)_mSiCl_4$ и адсорбционная трубка новой конструкции для гравиметрического анализа газообразных продуктов (O_2 и влаги), новизна которых подтверждена тремя авторскими свидетельствами на изобретения.

Впервые исследованы соединения $(C_2H_5O)_2SiCl_2(x.)$, $CH_3(C_2H_5O)_2SiCl(x.)$ и $CH_3(C_2H_5O)SiCl_2(x.)$. Для других соединений — $(C_2H_5O)_4Si$.

(к.), $(C_2H_5O)_3SiCl$ (к.) и $(CH_3)_3SiCl$ (к.) полученные величины удовлетворительно согласуются с источниками.

Впервые из графических зависимостей $-A_f^{\text{H}_2\text{O}_m} = f(n(Cl))$ и $-A_f^{\text{H}_2\text{O}} = f(n(CH_3))$ найдены величины энталпии образования соединений $(C_2H_5O)SiCl_3$ (к.), $(CH_3)_2(C_2H_5O)SiCl$ (к.), $CH_3(C_2H_5O)_3Si$ (к.), $(CH_3)_2(C_2H_5O)_2Si$ (к.) и $(CH_3)_3(C_2H_5O)Si$ (к.).

Впервые расчётным методом Бернштейна определены величины энталпии образования газообразных соединений $CH_3(C_2H_5O)_2SiCl$ (г.), $CH_3(C_2H_5O)SiCl_2$ (г.), $(CH_3)_2(C_2H_5O)SiCl$ (г.), $CH_3(C_2H_5O)_3Si$ (г.), $(CH_3)_2(C_2H_5O)_2Si$ (г.) и $(CH_3)_3(C_2H_5O)Si$ (г.).

Практическая ценность. Полученные в работе величины $A_f^{\text{H}_2\text{O}_m}$ и $A_f^{\text{H}_2\text{O}}$ соединений ряда $(CH_3)_n(C_2H_5O)_mSiCl_4 - n - m$ могут быть использованы в теоретической химии КОС и КХОС, а также в термодинамических расчётах, связанных с установлением технологических параметров промышленных установок для синтеза мономеров и полимеров.

Разработанная и изготовленная аппаратура пламенного калориметра — реакционная камера применена для прецизионных термохимических исследований. Данная аппаратура может быть вполне пригодна для термохимического исследования других жидкых элементоорганических, органических и металлоорганических соединений с различными содержанием хлора и температурами кипения.

Адсорбционная трубка новой конструкции, созданная для гравиметрического анализа на содержание газообразных продуктов, может быть использована также для анализа воздуха, содержащего экологически вредные газы (N_2O_2 , S_2O_2 , H_2S и др.) на промышленных предприятиях.

На защиту выносятся: 1. аппаратура — реакционная камера и адсорбционная трубка; 2. новые методики пламенной калориметрии и количественного определения газообразных продуктов; 3. результаты экспериментального определения энталпий горения и образования шести соединений ряда $(CH_3)_n(C_2H_5O)_mSiCl_4 - n - m$; 4. величины энталпии образования пяти соединений ряда $(CH_3)_n(C_2H_5O)_mSiCl_4 - n - m$, найденные из графических зависимостей; 5. величины энталпии образования шести соединений ряда $(CH_3)_n(C_2H_5O)_mSiCl_4 - n - m$ для газообразного состояния, рассчитанные теоретическим методом.

Апробация работы. Результаты работы должны на V Всесоюзной конференции по термодинамике органических соединений (г. Куйбышев, 1967 г.), на IV научно-технической конференции молодых учёных и специалистов предприятий и организаций химической и нефтехимической промышленности, студентов вузов (г. Омск, 1968 г.), на VII Всесоюзной

конференции по химической термодинамике и калориметрии(г.Горький, 1988г.), на областной конференции "Химические проблемы отраслей народного хозяйства Тюменского региона и пути их решения"(г.Тюмень, 1989г.), на Международном симпозиуме по калориметрии и химической термодинамике(г.Москва,МГУ,1991г.), на кафедре неорганической химии Тюменского государственного университета.

Публикации. По теме диссертации опубликовано 9 работ.

Структура и объём диссертации. Диссертация состоит из 6 глав. Работа изложена на 127 стр., содержит 25 рис. и 16 табл.

Краткое содержание работы

Введение. Обоснована актуальность работы, изложены цель и новизна исследования.

Глава I. Даётся анализ существующих методик бомбовой калориметрии для термохимического исследования ЮС и КЮС. Традиционная методика бомбовой калориметрии не позволяет достигнуть полноты сгорания ЮС и КЮС из-за образования на поверхности исследуемого образца "корки" из твёрдого продукта Bi_2O_3 , которая препятствует процессу горения. Это значительно усложняет состав конденсированных продуктов и затрудняет анализ для установления конечного состояния содержимого бомбы.

Начиная с 1950 г. было разработано немало методик для стигания ЮС и КЮС. Наиболее надёжными из них являются методики Гуда, Кохса и Гаджиева. Гаджиевым с сотрудниками был разработан новый метод, позволяющий полностью склонять во вращающейся калориметрической бомбе жидкие ЮС с содержанием хлора до 70% по массе. Суть метода, по принципу отличающегося от существующих, сводится к испарению части вещества (10% по массе) и взрыванию при помощи платинового воспламенителя смеси паров с кислородом, что способствует полному сгоранию всего вещества. Выделяющийся при горении свободный Cl_2 весь переводится в раствор HCl путём восстановления водным раствором гидразина дигидрохлорида ($\text{N}_2\text{H}_4 \cdot 2\text{HCl}$). Для достижения полной инертности применялась платинированная или tantalовая бомба.

Однако перечисленные методики сложны в оформлении, требуют дальнейшего совершенствования применительно к исследуемым образцам

и не всегда приводят к надёжным результатам.

Глава 2. Даётся описание метода пламенной калориметрии, особый интерес в которой представляет "универсальная" горелка Томсена, созданная в конце 19 века. Эта горелка действует по принципу керосиновой лампы и предназначена для сжигания легкокипящих и газообразных веществ в калориметре. Для сжигания жидкого вещества с высокой температурой кипения эта горелка не годится, т.к. от электронагревательной обмотки горелки, расположенной вне калориметра и служащей для испарения вещества из горелки, в калориметр вносится некоторое количество трудноучитываемой энергии.

В современных пламенных калориметрах этот недостаток устранён путём ввода электронагревательной обмотки с горелкой внутрь калориметра. На электронагреватель подаётся известное количество энергии для превращения вещества в пар, которое достаточно точно фиксировалось стандартными вольтметром, амперметром и секундомером. В расчётах на энергию электронагрева вводится калориметрическая поправка.

Метод пламенной калориметрии является более простым и доступным по сравнению с методом бомбовой калориметрии. Работы по термохимическому исследованию КОС и КХОС данным методом до нас не проводились.

В главе 3 описаны устройство и методика работы на бомбовом калориметре.

Глава 4 посвящена разработке и созданию специальной аппаратуры и методики пламенной калориметрии для термохимического исследования соединений ряда $(\text{CH}_3)_n(\text{C}_2\text{H}_5\text{O})_m\text{SiCl}_4 - \text{к. - м.}$

Об надёживающим в методе пламенной калориметрии нам показалось то, что сжигание образцов проводится в парах, в которых из-за отсутствия поверхности исключено образование "корки" из твёрдого продукта SiO_2 . Для испытания мы взяли за основу горелку Томсена. Однако такая горелка оказалась непригодной, т.к. при горении на сопле горелки вскоре появлялся твёрдый продукт SiO_2 в виде "шапки"; горение прекращалось. Таким образом, сгорала лишь небольшая часть образца, а основная его часть оставалась в реаэраторе горелки. То же наблюдалось при испытании современных калориметрических горелок.

После длительных подборов условий нам удалось устранить этот существенный недостаток и создать специальную горелку с теплопередающим приспособлением, которое позволило:

I. отдалить пламя от болта горелки, что устранило закупоривание его твёрдым продуктом SiO_2 ;

2. использовать тепло пламени для испарения образца из горелки, что давало возможность не использовать стороннюю балластную энергию.

На рис.1 представлена предлагаемая кварцевая горелка с теплопередающими и другими приспособлениями. Она состоит из капилляра 5, резервуара 6, к которому пришлан отросток - трубка 13. В резервуаре 6 находится образец исследуемого жидкого вещества 8. Через капилляр 5 до дна резервуара 6 введены параллельно асбестовостекловатный фитиль 7 и тонкая серебряная проволока 14 с ушком 21. Сопло 22 закрыто герметично полиэтиленовой пленкой 18 при помощи серебряного кольца 4, закрепленного в канавке 20. От кольца 4 на никромовую спираль накаливания 19 отведён запал - хлопчатобумажная нить 2. Горелка расположена внутри теплоизолирующего приспособления, состоящего из кварцевой трубы 15, на верхнем конце которой прикреплены теплопередающие от пламени платиновые пластинчатые лепестки 3 и проволочная спираль I при помощи обмотки 16 из серебряной проволоки, намотанной на кварцевую трубку 15. От нижней части кварцевой трубы 15 отходит спираль 12 из посеребрённой медной проволоки, в которой при помощи отростка 13 крепится горелка. Кварцевая трубка 15 с обмоткой 16 и спиралью 12 расположены внутри теплоизолирующей кварцевой пробирки 17. В свою очередь пробирка 17 установлена в выемке металлической крышки 9 с внешней резьбой и уплотнительной резиновой прокладкой 10. Через крышку 9 пропущены изолированные токоподводы 11. Для герметичности проходы токоподводов 11 залиты эпоксидной смолой.

На рис.2 представлена реакционная камера с описанной выше горелкой 7 для сжигания в потоке кислорода или смеси кислорода с инертным газом соединений ряда $(\text{CH}_3)_n(\text{C}_2\text{H}_5\text{O})_m\text{SiCl}_4 - n-m$. Сферическая камера горения I ёмкостью 350 см³ изготовлена из термостойкого стекла пирекс и укреплена сверху на теплообменном змеевике 8 из нержавеющей стальной трубы внутренним диаметром 5 мм, длиной 10 м и толщиной стенок 1 мм. Камера горения I имеет горловину 15, в которую вставлена горелка 7 с приспособлениями. Горловина 15 состоит из стеклянной трубы и отходящей от неё металлической трубы с внутренней резьбой. Прочное и герметичное соединение металлической и стеклянной трубок сделано при помощи заливки из смеси эпоксидной смолы и кварцевого порошка. Горловина 15 закрыта снизу металлической крышкой 10 путём ввинчивания её в металлическую трубку. Для рабочей герметизации крышка 10 снабжена уплотнительной резиновой прокладкой.

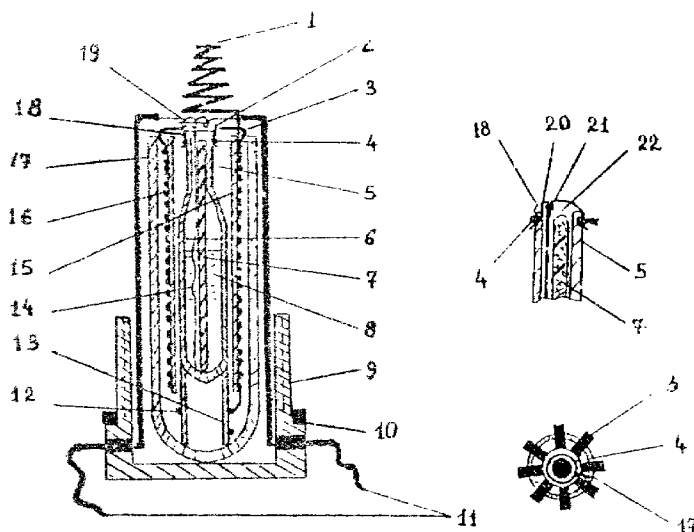


Рис. I. Горелка с приспособлениями для калориметрического сжигания жидких НОС и КХОС:

I - платиновая спираль; 2 - хлопчатобумажная нить - заслонка;
 3 - платиновые лепестки; 4 - серебряное кольцо; 5 - кварцевый капилляр; 6 - кварцевый резервуар; 7 - асбестово-стекловатный фильтр; 8 - образец жидкого вещества; 9 - металлическая крышка;
 10 - резиновая прокладка; II - токоподводы; 12 - медная спираль;
 13 - кварцевый отросток; 14 - серебряная проволока; 15 - кварцевая трубка; 16 - обмотка из серебряной проволоки; 17 - кварцевая теплоизолирующая пробирка; 18 - полиэтиленовая пленка - крышка;
 19 - никромовая спираль; 20 - канавка для крепления кольца 4;
 21 - серебряное узко; 22 - щипцы.

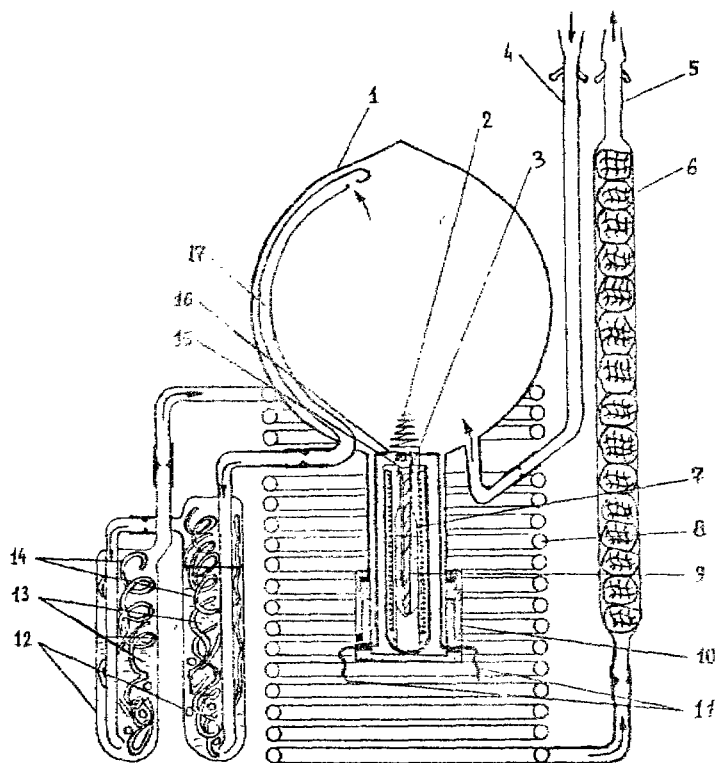


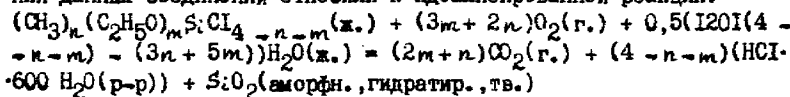
Рис. 2. Реакционная камера для калориметрического сжигания жидкого КОС и КХОС:

I – стеклянная камера сгорания; 2 – платиновая спираль; 3 – хлорчатобумажная нить – запай; 4 – кислородподводящая трубка; 5 – газовыводящая трубка; 6 – тампоны из стекловаты; 7 – кварцевая горелка с приспособлениями; 8 – змеевик из стальной трубы; 9 – образец жидкого вещества; 10 – металлическая крышка; II – токон подводы; 12 – стеклянные поглотители; 13 – раствор гидразина дигидрохлорида; 14 – тефлоновая лента; 15 – полиэтиленовая плёнка – крышка; 16 – никромовая спираль; 17 – газовыводящая

С боков от камеры сгорания I отходят кислородопроводящая трубка 4 и газовыводящая трубка I7. К газовыводящей трубке I7 и верхнему концу змеевика 8 подсоединенны два стеклянных поглотителя I2, заполненные восстановителем I3 - водным раствором 0,7-1,0%-го гидразина дигидрохлорида ($N_2H_4 \cdot 2HCl$) с тонкой тефлоновой лентой I4 для лучшего контакта образующегося при горении свободного Cl_2 в раствором I3. К нижнему концу змеевика 8 присоединена газоотводящая трубка 5, заполненная тампонами из стекловаты.

Реакционная камера помещена в изотермический калориметр сжигания В-08МА вместо калориметрической бомбы. Эксперимет по сжиганию образца в потоке чистого кислорода проводился при давлении близком к 1 атм и температуре 298,15К. Поджигание образца 8(рис.1) осуществлялось электрическим разрядом в конденсаторной системы на спираль нагревания I9, от которой загорались запал - хлопчатобумажная нить 2, крышка горелки - полиэтиленовая пленка I8, а от неё - образец исследуемого вещества 8.

При горении хлорсодержащих соединений ряда $(CH_3)_n(C_2H_5O)_mS:Cl_4$ - $n-m$ помимо HCl образуется свободный Cl_2 , который, выходя из камеры сгорания I(рис.2) в избытке кислорода, барбартировался через раствор гидразина дигидрохлорида I3 поглотителей I2 и весь превращался в раствор HCl. Результирующий же энергетический эффект сгорания данных соединений относили к идеализированной реакции:



После калориметрического опыта в растворе I3 определяли содержание непревращённого $N_2H_4 \cdot 2HCl$, а также NH_4Cl , HNO_3 и Cl^- методами Ценнемана, Кильдяля, Деварда и Фольгарда. Твёрдый продукт анализировали на свободный кремний(S), карбид кремния(SiC) и углерод(C). Двух первых веществ в твёрдом продукте обнаружено не было. Методом рентгенофазового анализа установлено, что SiO_2 , полученный в наших калориметрических опытах, являлся аморфным, гидратированным.

Для гравиметрического анализа на содержание газообразных продуктов - CO_2 и влаги, были применены созданные нами стеклянные трубки новой конструкции(рис.3), которые собирались в поглотительный аппарат из четырёх трубок. Нижняя, первая трубка, заполненная ангидроном, служила для улавливания влаги газа. Вторая, основная и третья, контрольные трубки, заполненные аскаритом и ангидроном, служили для улавливания CO_2 , по количеству которого определялась масса горев-

шего образца. Четвертая, верхняя трубка, аналогичная третьей, защищала третью трубку от действия влаги и газов среды. К верхней трубке присоединялась индикаторная трубка марки ГХ-400-02 для объёмного определенияmonoоксида углерода (CO). Содержание CO в газообразном продукте O_2 составляло не более 0,005% от его объёма, что не вносит существенной калориметрической погрешности. Погрешность же анализа газообразных продуктов с использованием такого поглотительного аппарата составляла $\pm 0,03\%$.

Расчёт исправленного изменения температуры ($\Delta T_{\text{испр.}}$) $^{\circ}\text{C}$ проводился по формуле $\Delta T_{\text{испр.}} = \Delta T + \delta$, где ΔT – замеренный скачок температуры, K ; δ – поправка на теплообмен, которая определялась по формуле Ренъю-Праундлера, K . Глава 5. Приводятся результаты экспериментальных определений энталпии сгорания ($\Delta_f H^\ominus$) соединений ряда $(\text{M}_3)_n(\text{C}_2\text{H}_5)_m\text{S}_l\text{Cl}_4$ – $n-m$ методом пламенной калориметрии на изготовленной нами специальной аппаратуре по разработанной методике.

Исследованные вещества были синтезированы, очищены и запаяны в стеклянные ампулы в Государственном научно-исследовательском институте химии и технологии элементоорганических соединений. Их чистота составила 99,6%, что не вносит существенной погрешности в величину теплоты сгорания.

Энталпия сгорания исследуемых веществ ($\Delta_f H^\ominus(\text{в})$, $\text{Дж}\cdot\text{г}^{-1}$) определялась по формуле

$$\Delta_f H^\ominus(\text{в}) = -(E_f^\ominus \cdot \Delta T_{\text{испр.}}) - q_1^1 - q_2^2 + q_3^3 + q_4^4 - q_5^5 + q_6^6 - q_7^7 \cdot m(\text{в})^{-1}$$

где $E_f^\ominus = (14823,6 \pm 21,5)$ $\text{Дж}\cdot\text{К}^{-1}$ – энергетический эквивалент пла-

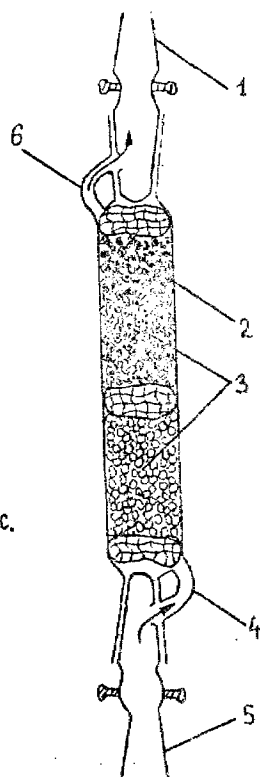


Рис. 3. Адсорбционная трубка новой конструкции:

1,5 – пробки; 2 – корпус; 3 – твёрдый адсорбент; 4,6 – соединительные трубы.

менного калориметра, определённый по сжиганию хорошо изученного вещества — этианола (C_2H_5OH); $\Delta T(\text{испр.})$ — исправленное изменение температуры, K ; q_1 — теплота, выделившаяся при накале никромовой спирали I6(рис. 2), Дж ; q_1^1 — теплота, выделившаяся при горении хлопчатобумажной нити 3, Дж ; q_1^2 — теплота, выделившаяся при горении полистиленовой пленки 15, Дж ; q_1^3 — теплота, поглощённая на образование сажи (C), Дж ; q_1^4 — теплота, поглощённая на испарение воды (H_2O) из калориметра, Дж ; q_1^5 — теплота, выделившаяся при образовании раствора азотной кислоты (HNO_3), Дж ; q_1^6 — теплота поглощённая (выделившаяся) при прохождении газа кислорода (O_2) через калориметр во время калориметрического опыта, Дж ; q_1^7 — теплота, выделившаяся при окислении гидразина дигидрохлорида ($N_2H_4 \cdot 2HCl$) кислородом (O_2) до N_2 (г.), $HCl(p-p)$ и $H_2O(w)$ в поглотителе I2, Дж .

В качестве контрольного образца был использован триметилхлоросилиан ($(CH_3)_3SiCl$), для которого в источниках даётся надёжная величина $\Delta_f^{H^\circ_m}((CH_3)_3SiCl, w.) = -(3016,7 \pm 3,1) \text{ кДж} \cdot \text{моль}^{-1}$. Для веществ с известными энталпиями были получены следующие величины:

$$\Delta_f^{H^\circ_m}((CH_3)_3SiCl, w.) = -(3012,2 \pm 6,3) \text{ кДж} \cdot \text{моль}^{-1};$$
$$\Delta_f^{H^\circ_m}((C_2H_5O)_4Si, w.) = -(5558,7 \pm 10,0) \text{ кДж} \cdot \text{моль}^{-1};$$
$$\Delta_f^{H^\circ_m}((C_2H_5O)_3SiCl, w.) = -(4207,1 \pm 10,0) \text{ кДж} \cdot \text{моль}^{-1}.$$

Эти величины удовлетворительно согласуются с источниками.

В табл. I-3 приведены результаты калориметрических опытов по определению величин энталпии сгорания ($\Delta_f^{H^\circ_m}$) трёх неисследованных веществ: $(C_2H_5O)_2SiCl_2(w.)$, $CH_3(C_2H_5O)_2SiCl(w.)$ и $CH_3(C_2H_5O)SiCl_2(w.)$.

Глава 6 посвящена определению величин энталпии образования ($\Delta_f^{H^\circ_m}$) соединений ряда $(CH_3)_n(C_2H_5O)_mSiCl_4-n-m$ исходя из полученных экспериментальных результатов энталпии сгорания, из графических зависимостей и расчётным методом Вернштейна.

Для вычисления величин энталпии образования были приняты следующие величины: $\Delta_f^{H^\circ_m}(CO_2, g.) = -(393,51 \pm 0,13) \text{ кДж} \cdot \text{моль}^{-1}$; $\Delta_f^{H^\circ_m}(H_2O, w.) = -(285,83 \pm 0,042) \text{ кДж} \cdot \text{моль}^{-1}$; $\Delta_f^{H^\circ_m}(SiO_2, \text{аморфн., тв., гидратир.}) = -(910,4 \pm 2,1) \text{ кДж} \cdot \text{моль}^{-1}$; $\Delta_f^{H^\circ_m} (HCl \cdot 600H_2O, p-p) = -(166,54 \pm 0,04) \text{ кДж} \cdot \text{моль}^{-1}$.

На рис. 4-5 даны графические зависимости $-\Delta_f^{H^\circ_m} = f(n(Cl))$ и $-\Delta_f^{H^\circ_m} = f(n(CH_3))$, из которых впервые найдены величины энталпии образования соединений $(C_2H_5O)SiCl_3(w.)$, $(CH_3)_2(C_2H_5O)SiCl(w.)$, $CH_3(C_2H_5O)_3Si(w.)$, $(CH_3)_2(C_2H_5O)_2Si(w.)$ и $(CH_3)_3(C_2H_5O)Si(w.)$.

Расчётным методом Вернштейна впервые определены величины энтал-

Таблица I.

Результаты калориметрических опытов по определению энталпии сгорания жидкого диэтилсульфокисляна $(C_2H_5O)_2S_2Cl_2$.

$M = 189,11460 \text{ г}\cdot\text{моль}^{-1}$

$m'(v) = 1,07427 \cdot m(CO_2)$

	Количество калориметрических опытов:					
	1	2	3	4	5	6
$m(CO_2)$, г	0,51377	0,50229	0,51789	0,40912	0,58177	0,80026
$m(v)$, г	0,55193	0,53960	0,55635	0,43951	0,62498	0,85970
m (нить), г	0,00036	0,00038	0,00039	0,00047	0,00095	0,00064
m (плёнка), г	0,00034	0,00089	0,00055	0,00052	0,00024	0,00026
m (сажа), г	0,00073	0,00084	0,00059	0,00027	0,00042	0,00065
$m(H_2O)$, г	0,12241	0,10716	0,11469	0,08241	0,14154	0,15707
$n(HNO_3)$, моль	0,00025	0,00020	0,00034	0,00012	0,00031	0,00037
$n(O_2)$, моль	0,246	0,246	0,246	0,246	0,246	0,246
$n(N_2H_4 \cdot 2HCl)$, моль	0,00063	0,00069	0,00058	0,00050	0,00072	0,00091
$T(\delta^o)$, К	0,0032	0,0095	- 0,0043	- 0,0028	0,0074	0,0098
$\Delta T(\text{испр.})$, К	0,5748	0,5696	0,5798	0,4620	0,6548	0,9034
$-q$ (накал), Дж	3,4	3,2	3,6	3,6	3,2	4,0
$-q_I$ (нить), Дж	6,1	6,4	6,6	7,9	16,1	10,8
$-q_2$ (плёнка), Дж	15,8	41,4	25,6	24,2	II,2	I2,I
q_3 (сажа), Дж	23,9	27,6	19,4	8,9	I3,8	21,3
$q_4(H_2O)$, Дж	299,0	261,8	280,2	201,3	345,8	383,7
$-q_5(HNO_3)$, Дж	14,9	II,9	20,3	7,2	18,5	22,1
$q_6(O_2)$, Дж	2,2	2,2	2,2	2,2	2,2	2,2
$-q_7(N_2H_4 \cdot 2HCl)$, Дж	354,5	388,3	326,4	281,4	405,2	512,1
$-Q$ (суммар.), Дж	8451,0	6283,9	6514,0	6736,6	9614,1	13237
$\Delta c_{\text{в}}^{H^0}, \text{Дж}\cdot\text{г}^{-1}$	I5311,7	I5351,9	I5303,3	I5327,5	I5383,1	I5391

$$\Delta c_{\text{в}}^{H^0}((C_2H_5O)_2S_2Cl_2, \text{ж.к.}) = - (15345,9 \pm 40,6) \text{ Дж}\cdot\text{г}^{-1}$$

$$\Delta c_{\text{в}}^{H^0}((C_2H_5O)_2S_2Cl_2, \text{ж.к.}) = - (2902,1 \pm 7,7) \text{ кДж}\cdot\text{моль}^{-1}$$

Таблица 2.

Результаты калориметрических опытов по определению энталпии сгорания жидкого метилдиэтоксихлоросилана ($\text{CH}_3(\text{C}_2\text{H}_5\text{O})_2\text{SiCl}$).

$$M = 168,69666 \text{ г.моль}^{-1}$$

$$\bar{m}(v) = 0,76662 \cdot M(\text{CO}_2)$$

:	Количество калориметрических опытов:					
	1	2	3	4	5	6
$m(\text{CO}_2, \text{г})$	0,96715	0,73055	0,58375	0,71523	0,53318	0,85606
$m(\text{Si})$, г	0,74144	0,56005	0,44751	0,54831	0,40875	0,65627
$m(\text{возд.})$, г	0,00054	0,00071	0,00063	0,00049	0,00046	0,00039
$m(\text{плёнка})$, г	0,00026	0,00080	0,00018	0,00014	0,00029	0,00026
$m(\text{такж.})$, г	0,00015	0,00095	0,00054	0,00029	0,00075	0,00020
$m(\text{H}_2\text{O})$, г	0,13775	0,09099	0,12637	0,11603	0,10238	0,12044
$m(\text{HNO}_3)$, моль	0,00022	0,00031	0,00025	0,00036	0,00027	0,00032
$n^0(\text{O}_2)$, моль	0,246	0,246	0,246	0,246	0,246	0,246
$n(N_2\text{H}_4 \cdot 2\text{HCl})$, моль	0,00080	0,00056	0,00038	0,00061	0,00045	0,00072
$T(\delta)$, К	0,0076	0,0014	0,0054	0,0086	0,0009	- 0,0038
$\Delta T(\text{испр.})$, К	I,1504	0,8670	0,6786	0,6476	0,6255	I,0179
$-q_1$ (накал), Дж	2,9	9,1	10,8	3,4	3,8	3,6
$-q_1^1$ (нить), Дж	9,1	12,0	10,7	8,3	7,8	6,6
$-q_1^2$ (плёнка), Дж	12,1	37,2	8,4	6,5	I3,5	I2,I
$-q_1^3$ (сажа), Дж	4,9	31,2	I7,7	9,5	24,6	6,6
$-q_1^4(\text{H}_2\text{O})$, Дж	336,5	222,3	308,7	283,5	250,I	294,2
$-q_1^5(\text{HNO}_3)$, Дж	I3,1	18,5	I4,9	21,5	I6,I	I9,I
$-q_1^6(\text{O}_2)$, Дж	2,2	2,2	2,2	2,2	2,2	2,2
$-q_1^7(N_2\text{H}_4 \cdot 2\text{HCl})$, Дж	450,2	315,1	213,8	343,3	253,2	405,2
$-q_1$ (суммар.), Дж	I6909,3	I2745,9	I0129,3	I2476,7	9254,7	I4945,3
$-\Delta_e^{H^0}$, Дж. г. ⁻¹	22806,0	22704,9	22634,8	22754,8	22641,5	22773,1

$$\Delta_e^{H^0}(\text{CH}_3(\text{C}_2\text{H}_5\text{O})_2\text{SiCl}, \text{к.}) = - (22719,1 \pm 74,3) \text{ Дж.г.}^{-1} \text{ или}$$

$$\Delta_e^{H^0}(\text{CH}_3(\text{C}_2\text{H}_5\text{O})_2\text{SiCl}, \text{к.}) = - (3832,6 \pm 12,5) \text{ кДж.моль}^{-1}$$

Таблица 3.

Результаты калориметрических опытов по определению энталпии сгорания жидкого метилэтоксидихлорэтилана ($\text{CH}_3(\text{C}_2\text{H}_5\text{O})\text{SiCl}_2$).

$$M = 159,088 \text{ II g} \cdot \text{моль}^{-1}$$

$$\dot{m}(v) = 1,20494 \cdot \dot{m}(\text{CO}_2)$$

Количество калориметрических опытов:

$\dot{m}(\text{CO}_2)$, г	0,47475	0,44643	0,47761	0,58024	0,51684	0,37221
$\dot{m}(v)$, г	0,57205	0,53792	0,57549	0,69915	0,62276	0,44849
m^1 (нить), г	0,00062	0,00059	0,00059	0,00042	0,00089	0,00036
m^2 (плёнка), г	0,00044	0,00011	0,00042	0,00089	0,00076	0,00078
m^3 (сажа), г	0,00069	0,00037	0,00017	0,00022	0,00057	0,00042
$m^4(\text{H}_2\text{O})$, г	0,08129	0,10606	0,12791	0,14646	0,11293	0,05601
$n^5(\text{HNO}_3)$, моль	0,00014	0,00020	0,00026	0,00032	0,00029	0,00015
$n^6(\text{O}_2)$, моль	0,246	0,246	0,246	0,246	0,246	0,246
$n^7(\text{N}_2\text{H}_4 \cdot 2\text{HCl})$, моль	0,00065	0,00071	0,00059	0,00082	0,00090	0,00046
$T(\delta)$, К	0,0057	0,0028	0,0064	0,0029	0,0067	0,0040
ΔT (испр.), К	0,6186	0,5796	0,6176	0,7548	0,6794	0,4864
$-q_1$ (накал), Дж	2,9	3,4	2,9	3,2	3,4	3,2
$-q_1^1$ (нить), Дж	10,5	10,0	10,0	9,5	5,6	6,1
$-q_1^2$ (плёнка), Дж	20,5	5,1	19,6	41,4	35,4	36,3
q_1^3 (сажа), Дж	22,6	12,1	5,6	7,1	18,7	13,8
$q_1^4(\text{H}_2\text{O})$, Дж	198,6	259,1	312,5	387,8	275,9	136,8
$-q_1^5(\text{HNO}_3)$, Дж	8,4	11,9	15,5	19,1	17,3	9,0
$q_1^6(\text{O}_2)$, Дж	2,2	2,2	2,2	2,2	2,2	2,2
$-q_1^7(\text{N}_2\text{H}_4 \cdot 2\text{HCl})$, Дж	365,8	399,5	332,0	461,4	506,5	256,9
$-\alpha$ (суммар.), Дж	8985,3	8435,3	9095,4	11021,4	9997,7	704
$-\Delta_e^{H^0}$, Дж. г $^{-1}$	15707,2	15681,3	15804,6	15764,0	15735,9	15711

$$\Delta_e^{H^0}(\text{CH}_3(\text{C}_2\text{H}_5\text{O})\text{SiCl}_2, \text{ж.}) = - (15735,2 \pm 46,0) \text{ кДж. г}^{-1} \text{ или}$$

$$\Delta_e^{H^0}(\text{CH}_3(\text{C}_2\text{H}_5\text{O})\text{SiCl}_2, \text{ж.}) = - (2500,3 \pm 7,3) \text{ кДж. г}^{-1}$$

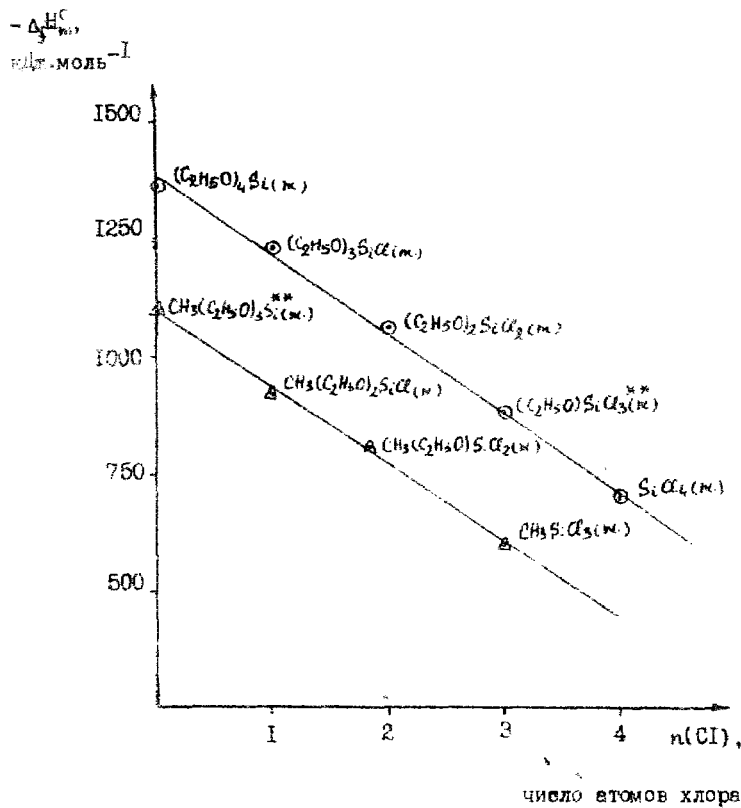


Рис. 4. Зависимость энталпии образования ($\Delta_f H_m^\circ$) гомологических рядов $(C_2H_5O)_m SiCl_{4-m}$ (х.) и $CH_3(C_2H_5O)_m SiCl_{4-m}$ от содержания в них хлора ($n(Cl)$).

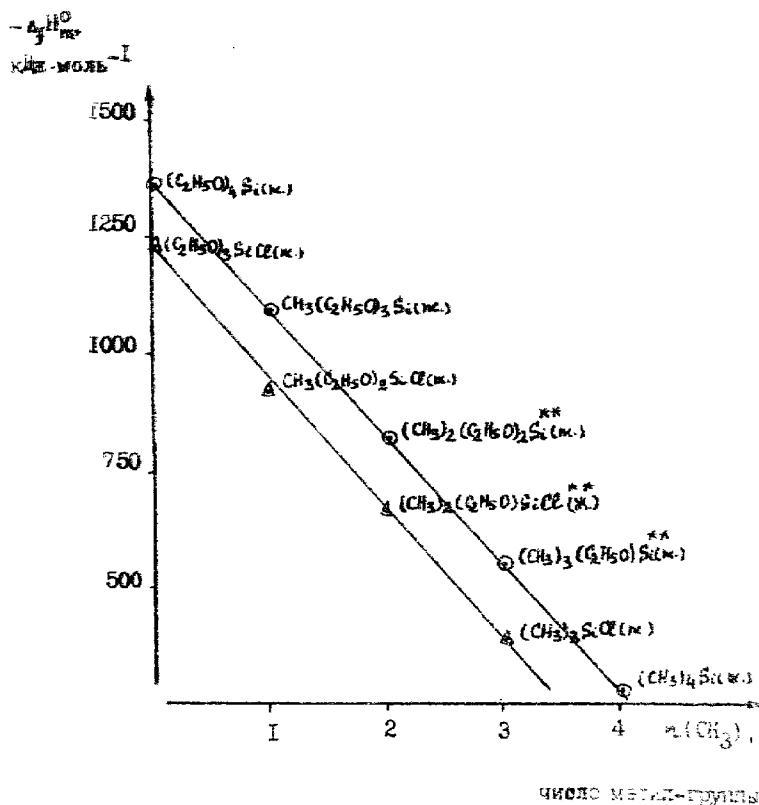


Рис. 5. Зависимость энталпии образования ($\Delta_f H_m^{\circ}$) гомологических рядов $(CH_3)_n(C_2H_5O)_mSi(H)_n$ и $(CH_3)_n(C_2H_5O)_{n-m}SiCl(n-m)$ от содержания в них метил-группы ($n(CH_3)$).

Таблица 4

Энталпия образования соединений ряда $(\text{CH}_3)_n(\text{C}_2\text{H}_5\text{O})_m\text{SiCl}_{4-n-m}$
в кДж·моль⁻¹

Формула соединения	$-\Delta_f^{\text{H}^\circ_m}$ (ж.) (экспер.)	ΔH_m° (ж→г)	$-\Delta_f^{\text{H}^\circ_m}$ (г.) (экспер.)	$-\Delta_f^{\text{H}^\circ}$ (г.) (теор.)	Источни- ки
SiCl_4	712,1 692,5	29,3	682,8	685,8	54,107
$(\text{CH}_3)_4\text{Si}$	269,0	26,4	242,5	241,4	108
$(\text{CH}_3)_3\text{SiCl}$	384,1 388,6 *	31,0	353,1 357,6	355,6	54,55 108
$(\text{CH}_3)_2\text{SiCl}_2$	437,9	32,6	455,3	467,8	54,92
$(\text{CH}_3)\text{SiCl}_3$	608,4	31,8	576,6	578,2	54,55
$(\text{C}_2\text{H}_5\text{O})_4\text{Si}$	1355,6 1358,1 *	49,8	1305,8 1308,3 *	1373,2	44,45
$(\text{C}_2\text{H}_5\text{O})_3\text{SiCl}$	1247,7 1231,7 *	45,4	1202,3 1186,3 *	1208,8	44,45, 83
$(\text{C}_2\text{H}_5\text{O})_2\text{SiCl}_2$	1058,7 *	41,7	1017,0 *	1035,5	83
$(\text{C}_2\text{H}_5\text{O})\text{SiCl}_3$	885,5 **	37,0	848,5 **	853,3	83
$\text{CH}_3(\text{C}_2\text{H}_5\text{O})_2\text{SiCl}$	926,9 *	-	-	915,3 *	101
$(\text{CH}_3)_2(\text{C}_2\text{H}_5\text{O})\text{SiCl}$	662,9 **	-	-	630,5 *	104
$(\text{CH}_3)(\text{C}_2\text{H}_5\text{O})\text{SiCl}_2$	778,2 *	36,7	741,5 *	749,5 *	104
$\text{CH}_3(\text{C}_2\text{H}_5\text{O})_3\text{Si}$	1089,7 **	45,2	1044,5 **	1072,3 *	45
$(\text{CH}_3)_2(\text{C}_2\text{H}_5\text{O})_2\text{Si}$	814,7 **	41,4	773,3 **	779,9 *	47
$(\text{CH}_3)_3(\text{C}_2\text{H}_5\text{O})\text{Si}$	542,1 **	32,7	509,4 **	496,2 *	45

Знаки *, **, * - определены нами впервые экспериментально, из гра-
фика, расчётным методом.

пии образования шести газообразных соединений - $\text{CH}_3(\text{C}_2\text{H}_5\text{O})_2\text{SiCl}(\text{г.})$, $\text{CH}_3(\text{C}_2\text{H}_5\text{O})\text{SiCl}_2(\text{г.})$, $(\text{CH}_3)_2(\text{C}_2\text{H}_5\text{O})\text{SiCl}(\text{г.})$, $\text{CH}_3(\text{C}_2\text{H}_5\text{O})_3\text{Si}(\text{г.})$, $(\text{CH}_3)_2(\text{C}_2\text{H}_5\text{O})_2\text{Si}(\text{г.})$ и $(\text{CH}_3)_3(\text{C}_2\text{H}_5\text{O})\text{Si}(\text{г.})$.

В табл. 4 приведены экспериментальные и расчётные величины энталпии образования соединений всего ряда $(\text{CH}_3)_n(\text{C}_2\text{H}_5\text{O})_m\text{SiCl}_{4-n-m}$.

Основные выводы

1. Проведён критический анализ источников по термохимическому исследованию КОС и КХОС. Выяснено, что соединения ряда $(\text{CH}_3)_n(\text{C}_2\text{H}_5\text{O})_m\text{SiCl}_{4-n-m}$ недостаточно изучены ввиду отсутствия надёжной экспериментальной методики исследования. Обычная аппаратура бомбовой калориметрии не позволяет достигнуть полноты сгорания КОС и КХОС, так как на их поверхности образуется корка из твёрдого продукта SiO_2 , которая препятствует дальнейшему процессу окисления. Проведённые же работы с применением специальных аппаратуры и методик бомбовой калориметрии оказались также недостаточно эффективными для исследования соединений ряда $(\text{CH}_3)_n(\text{C}_2\text{H}_5\text{O})_m\text{SiCl}_{4-n-m}$.
2. Впервые в практике пламенной калориметрии создано и применено специальное теплопередающее приспособление, которое позволило достичь полноту сгорания соединений ряда $(\text{CH}_3)_n(\text{C}_2\text{H}_5\text{O})_m\text{SiCl}_{4-n-m}$ путём отдаления пламени от сопла горелки, что устранило закупоривание его твёрдым продуктом SiO_2 и использования тепла пламени для испарения исследуемого образца жидкого вещества из горелки вместо введения в неё сторонней балластной энергии.
3. Разработана и применена новая методика сжигания жидких КОС и КХОС в калориметре с реакционной камерой.
4. Создана и применена адсорбционная трубка новой конструкции для гравиметрического анализа на содержание газообразных продуктов. Данная трубка отличается от существующихprotoчной устроиства и технологии изготовления, удобством в обращении и надёжностью результатов.
5. Методом пламенной калориметрии по новой методике определены величины энталпии сгорания и образования шести соединений ряда $(\text{CH}_3)_n(\text{C}_2\text{H}_5\text{O})_m\text{SiCl}_{4-n-m}$, из которых для трёх — впервые.

6. Использование графических зависимостей впервые найдены величины энталпии образования пяти соединений ряда $(\text{CH}_3)_n(\text{C}_2\text{H}_5\text{O})_m\text{SiCl}_4$ - и - ии.
7. Расчетным методом впервые определены величины энталпии образования шести соединений ряда $(\text{CH}_3)_n(\text{C}_2\text{H}_5\text{O})_m\text{SiCl}_4$ - и - ии.

Содержание диссертации изложено в следующих публикациях:

1. Гаджиев С.Н., Хасанов И.М., Герасимов П.А., Усольцева И.В. А.с. № 1520420 "Устройство для калориметрического сжигания жидких элементоорганических веществ", 1989.
2. Гаджиев С.Н., Хасанов И.М. А.с. № 1721493 "Пламенный калориметр для определения энталпии горения и образования жидким кремний-хлорорганических и металлоорганических веществ", 1991.
3. Гаджиев С.Н., Хасанов И.М., Ермоленко С.Н., Бурый С.Г. А.с. № 1581239 "Адсорбционная трубка для газового анализа", 1991.
4. Гаджиев С.Н., Хасанов И.М., Усольцева И.В. Определение энергии горения кремнийорганических веществ методом пламенной калориметрии. // V Всесоюзная конференция по термодинамике органических соединений. Куйбышев, 1987, с.24.
5. Гаджиев С.Н., Хасанов И.М. Использование калориметра с горелкой для определения энталпии образования жидким кремнийхлороганических соединений. // М. "Химия и химическая технология", Иваново, 1989, т.32, вып.12, с. 122-124.
6. Хасанов И.М., Ермоленко С.Н., Гаджиев С.Н. Адсорбционная трубка новой конструкции для точного газового анализа. // Областная научная конференция. Тымень, ТымГУ, 1989, с.67.
7. Хасанов И.М. Применимость пламенной калориметрии к кремнийорганическим соединениям. // IV научно-техническая конференция. Омск, 1988, с.58-59.
8. Хасанов И.М., Кин М.А. Изучение возможности применения пламенной калориметрии к жидким кремнийорганическим соединениям. // VII Всесоюзная конференция по химической термодинамике и калориметрии. Горький, 1988, с. 233.
9. Најев С.Н., Khasanov I.M., Gerasimov P.A., Head A.J. // International Symposium on Calorimetry and Chemical Thermodynamics, USSR, Moscow, June 23-28, 1991, p.99.

Подписано в печать 5.04.94 Заказ № 106

Объём 1 п.л. Тираж 100 экз.

Ротапринт Тюменского государственного университета,
625003, г. Тюмень, ул. Семакова, 10.